è vietata la riproduzione di questo documento, senza preventiva autorizzazione scritta dello SGI
reproduction of this document is forbidden without prior written permission of SGI

Allegato B:

Analisi di stabilità delle terre rinforzate

INDICE

Figura 1: Analisi di stabilità globale in condizioni statiche del blocco B1 (FS=1.393) 3
Figura 2: Analisi di stabilità globale in condizioni statiche del blocco B2 (FS=1.117) 4
Figura 3: Analisi di stabilità globale in condizioni statiche del blocco B3 (FS=1.165) 5
Figura 4: Analisi di stabilità globale in condizioni statiche del blocco B4 (FS=1.170) 6
Figura 5: Analisi di stabilità globale in condizioni pseudo- statiche del blocco B1 (FS=1.267) 8
Figura 6: Analisi di stabilità globale in condizioni pseudo- statiche del blocco B2 (FS=1.045) 9
Figura 7: Analisi di stabilità globale in condizioni pseudo- statiche del blocco B3 (FS=1.021) 10
Figura 8: Analisi di stabilità globale in condizioni pseudo- statiche del blocco B4 (FS=1.090) 11
Figura 9: Analisi di stabilità interna in condizioni statiche del blocco B1(FS=1.249) 14
Figura 10: Analisi di stabilità interna in condizioni statiche del blocco B2 (FS=1.238) 15
Figura 11: Analisi di stabilità interna in condizioni statiche dei blocchi B3 (FS=1.357) 16
Figura 12: Analisi di stabilità interna in condizioni statiche del blocco B4 (FS=1.383) 17
Figura 13: Analisi di stabilità interna in condizioni pseudo-statiche del blocco B1(FS=1.152) 19
Figura 14: Analisi di stabilità interna in condizioni pseudo-statiche del blocco B2 (FS=1.147) 20
Figura 15: Analisi di stabilità interna in condizioni pseudo-statiche dei blocchi B3 (FS=1.229) 21
Figura 16: Analisi di stabilità interna in condizioni pseudo-statiche del blocco B4 (FS=1.267) 22
Figura 17: Verifiche allo scorrimento in condizioni statiche del blocco B1(FS = 1.308) 25
Figura 18: Verifiche allo scorrimento in condizioni statiche del blocco B2 (FS = 1.513) 26
Figura 19: Verifiche allo scorrimento in condizioni statiche del blocco B3 (FS = 4.707) 27
Figura 20: Verifiche allo scorrimento in condizioni statiche del blocco B4 (FS = 3.489) 28

è vietata la riproduzione di questo documento, senza preventiva autorizzazione scritta dello SGI
reproduction of this document is forbidden without prior written permission of SGI

Figura 21: Verifiche allo scorrimento in condizioni pseudo-statiche del blocco B1(FS = 2.196) 30
Figura 22: Verifiche allo scorrimento in condizioni pseudo-statiche del blocco B2 (FS = 3.045) 31
Figura 23: Verifiche allo scorrimento in condizioni pseudo-statiche del blocco B3 (FS = 3.045) 32
Figura 24: Verifiche allo scorrimento in condizioni pseudo-statiche del blocco B4 (FS = 3.045) 33

è vietata la riproduzione di questo documento, senza preventiva autorizzazione scritta dello SGI
reproduction of this document is forbidden without prior written permission of SGI

è vietata la riproduzione di questo documento, senza preventiva autorizzazione scritta dello SGI
reproduction of this document is forbidden without prior written permission of SGI

Allegato B1:

Analisi di stabilità globale

è vietata la riproduzione di questo documento, senza preventiva autorizzazione scritta dello SGI
reproduction of this document is forbidden without prior written permission of SGI

Analisi in condizioni statiche

è vietata la riproduzione di questo documento, senza preventiva autorizzazione scritta dello SGI
reproduction of this document is forbidden without prior written permission of SGI

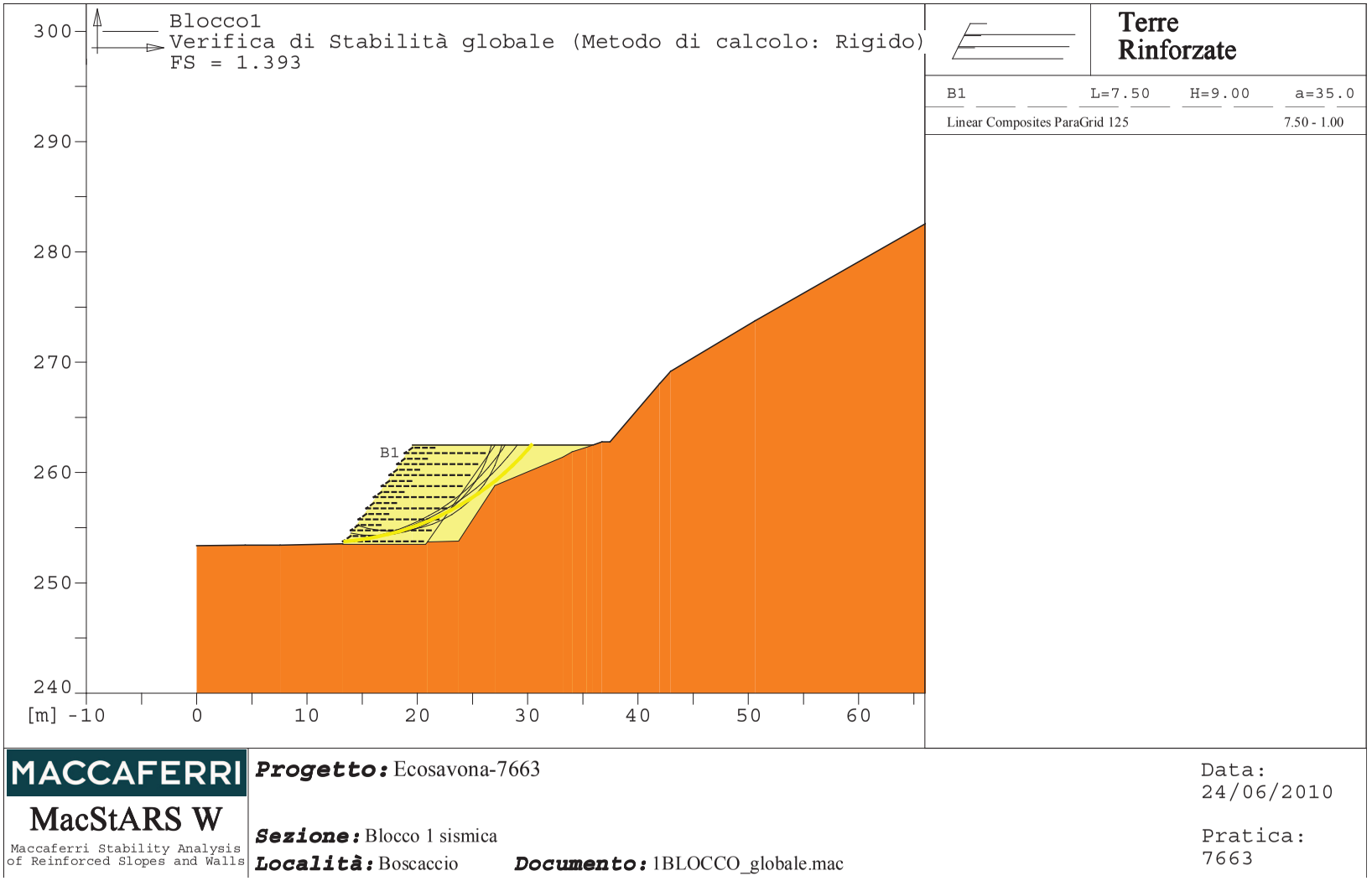


Figura 1: Analisi di stabilità globale in condizioni statiche del blocco B1 (FS=1.393)

è vietata la riproduzione di questo documento, senza preventiva autorizzazione scritta dello SGI
reproduction of this document is forbidden without prior written permission of SGI

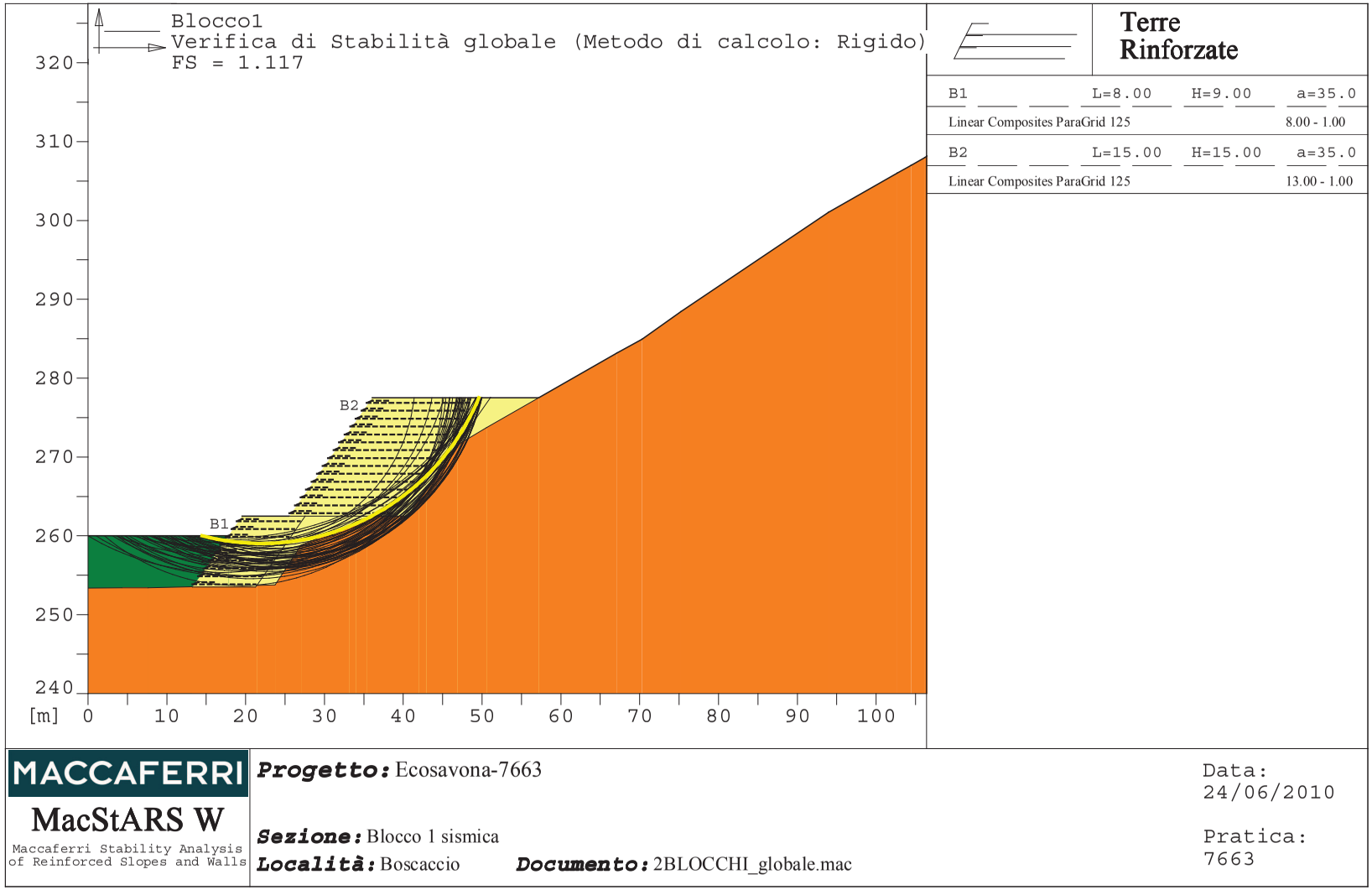


Figura 2: Analisi di stabilità globale in condizioni statiche del blocco B2 (FS=1.117)

è vietata la riproduzione di questo documento, senza preventiva autorizzazione scritta dello SGI
reproduction of this document is forbidden without prior written permission of SGI

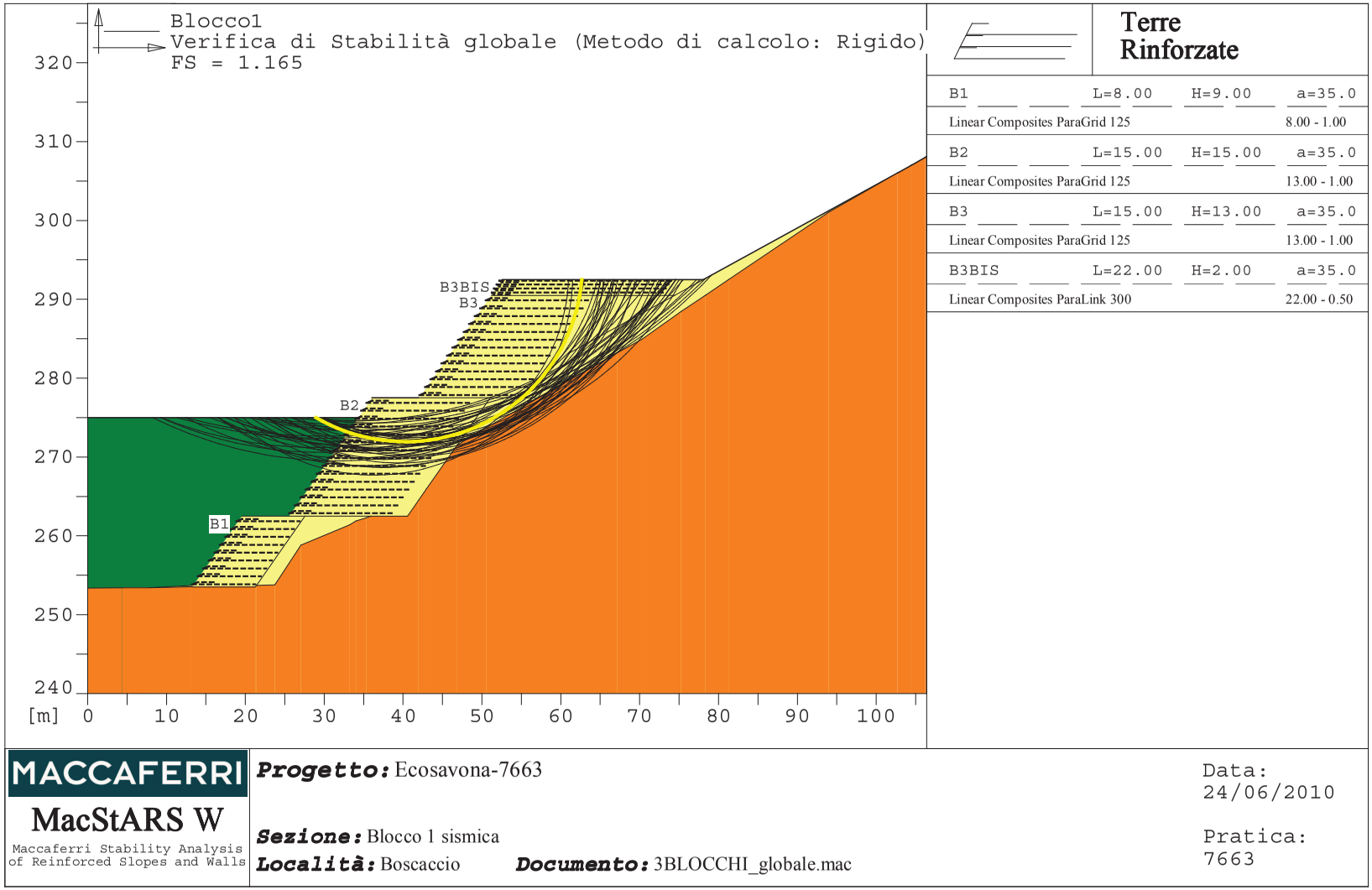


Figura 3: Analisi di stabilità globale in condizioni statiche del blocco B3 (FS=1.165)

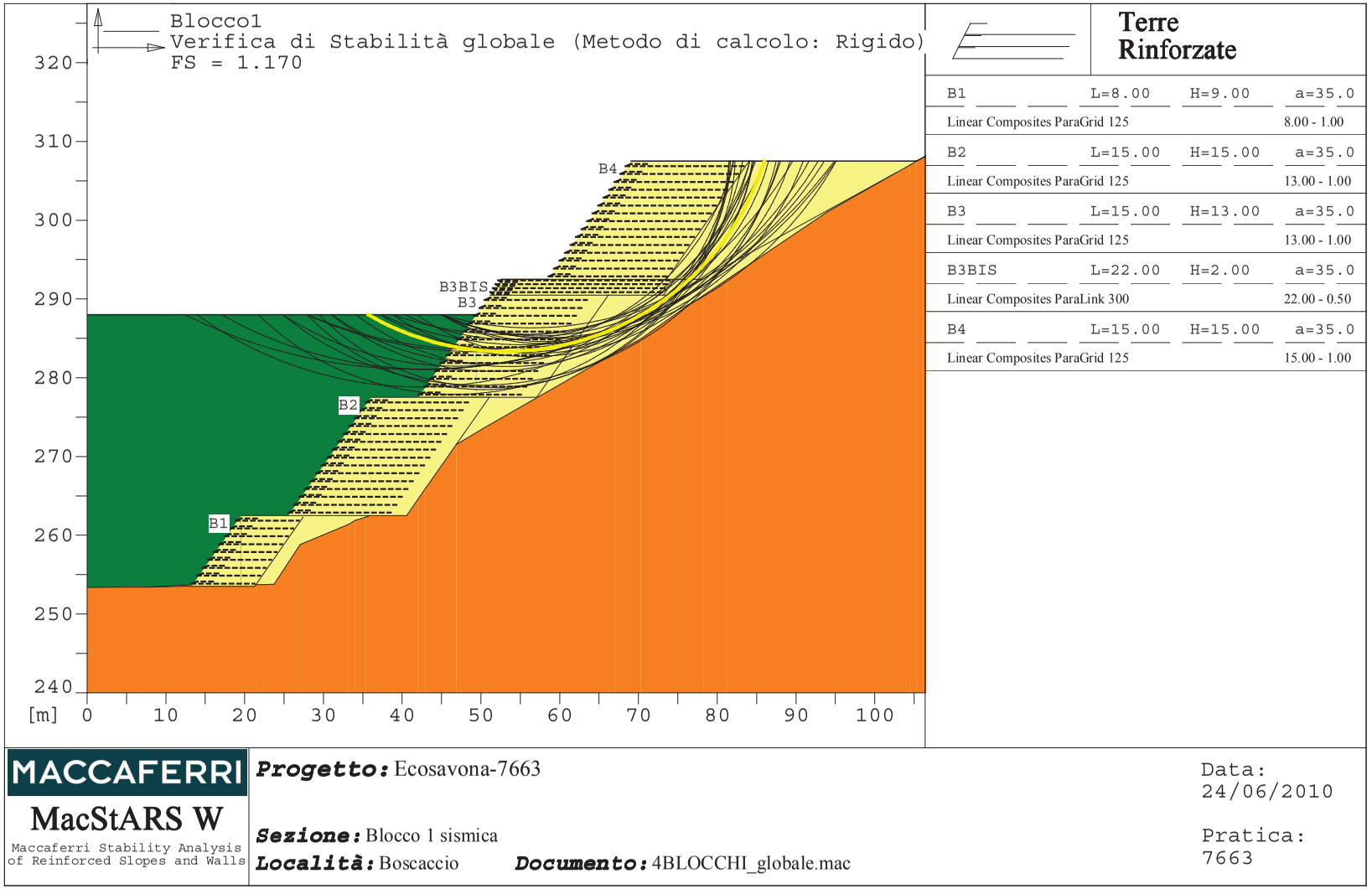


Figura 4: Analisi di stabilità globale in condizioni statiche del blocco B4 (FS=1.170)

è vietata la riproduzione di questo documento, senza preventiva autorizzazione scritta dello SGI
reproduction of this document is forbidden without prior written permission of SGI

è vietata la riproduzione di questo documento, senza preventiva autorizzazione scritta dello SGI
reproduction of this document is forbidden without prior written permission of SGI

Analisi in condizioni pseudo-statiche

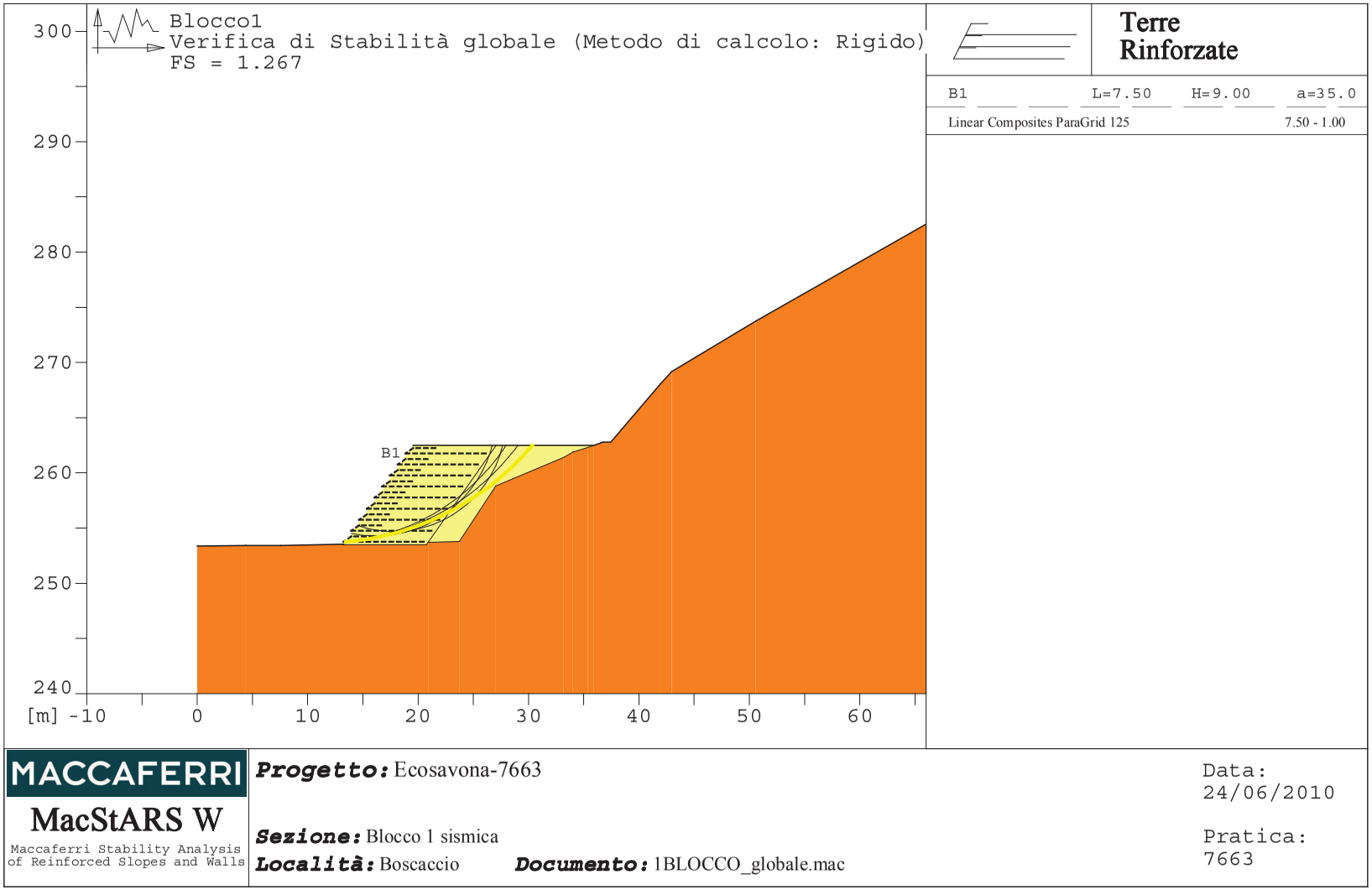


Figura 5: Analisi di stabilità globale in condizioni pseudo- statiche del blocco B1 (FS=1.267)

è vietata la riproduzione di questo documento, senza preventiva autorizzazione scritta dello SGI
reproduction of this document is forbidden without prior written permission of SGI

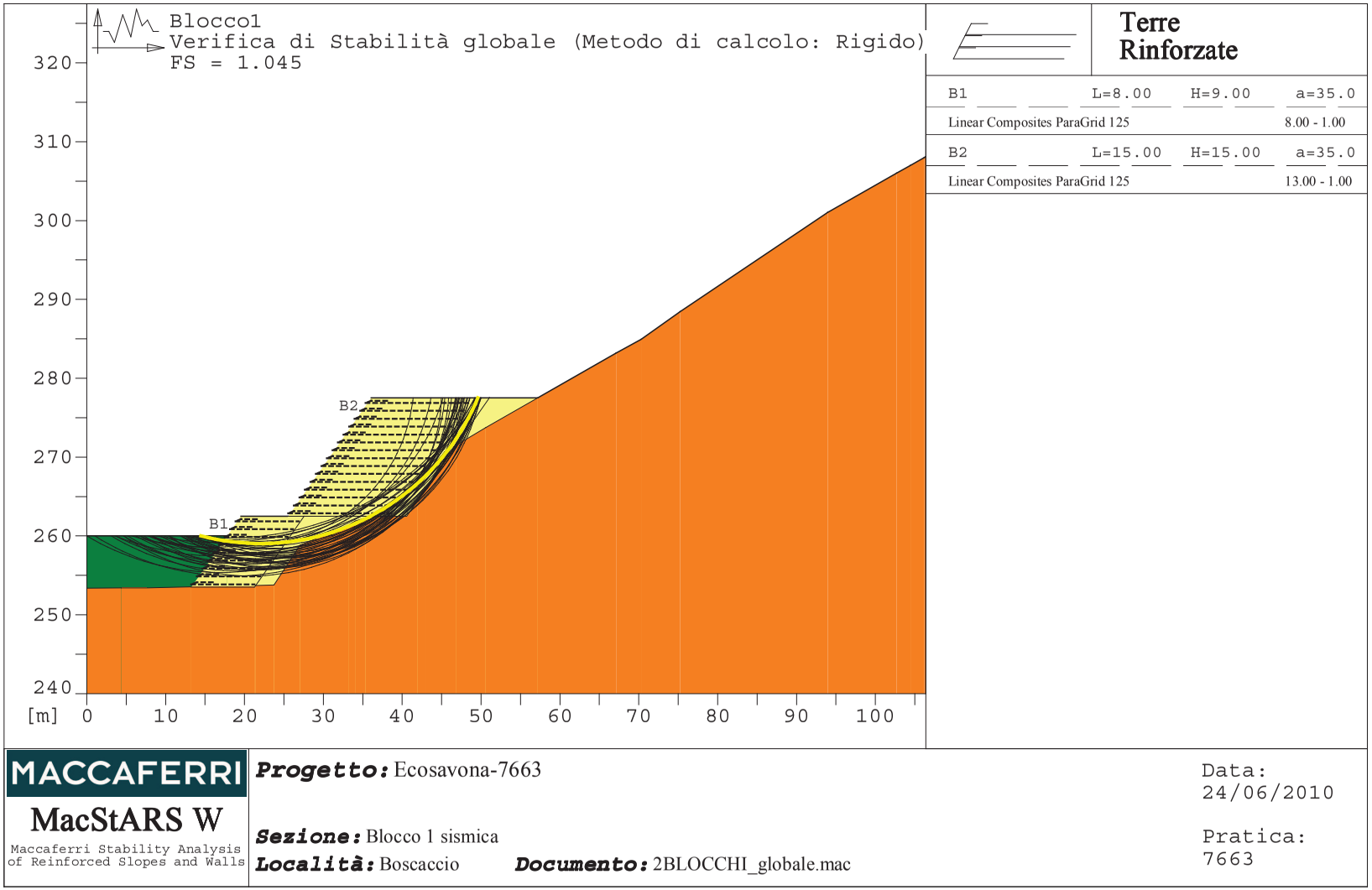


Figura 6: Analisi di stabilità globale in condizioni pseudo- statiche del blocco B2 (FS=1.045)

è vietata la riproduzione di questo documento, senza preventiva autorizzazione scritta dello SGI
reproduction of this document is forbidden without prior written permission of SGI

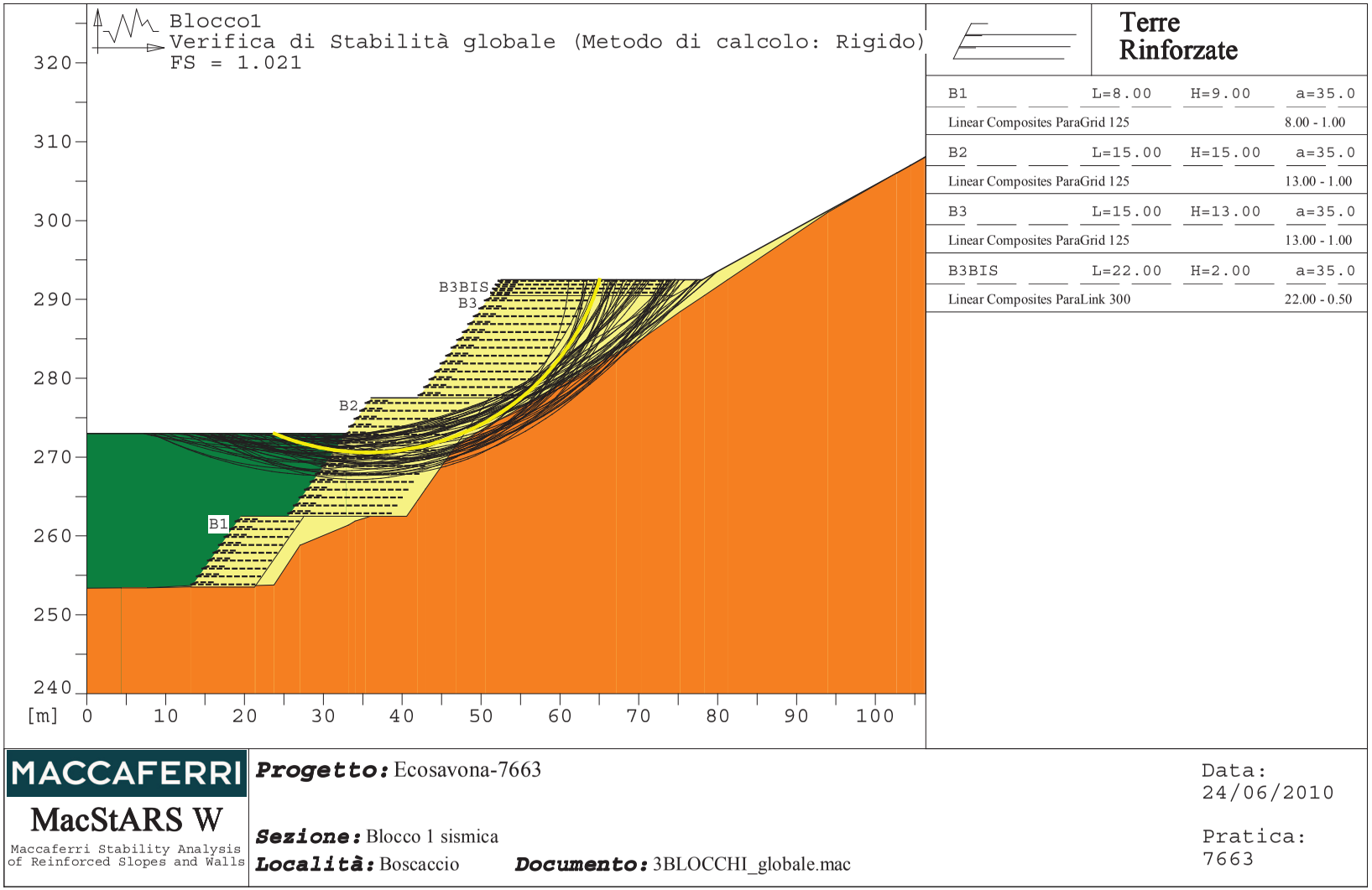


Figura 7: Analisi di stabilità globale in condizioni pseudo- statiche del blocco B3 (FS=1.021)

è vietata la riproduzione di questo documento, senza preventiva autorizzazione scritta dello SGI
reproduction of this document is forbidden without prior written permission of SGI

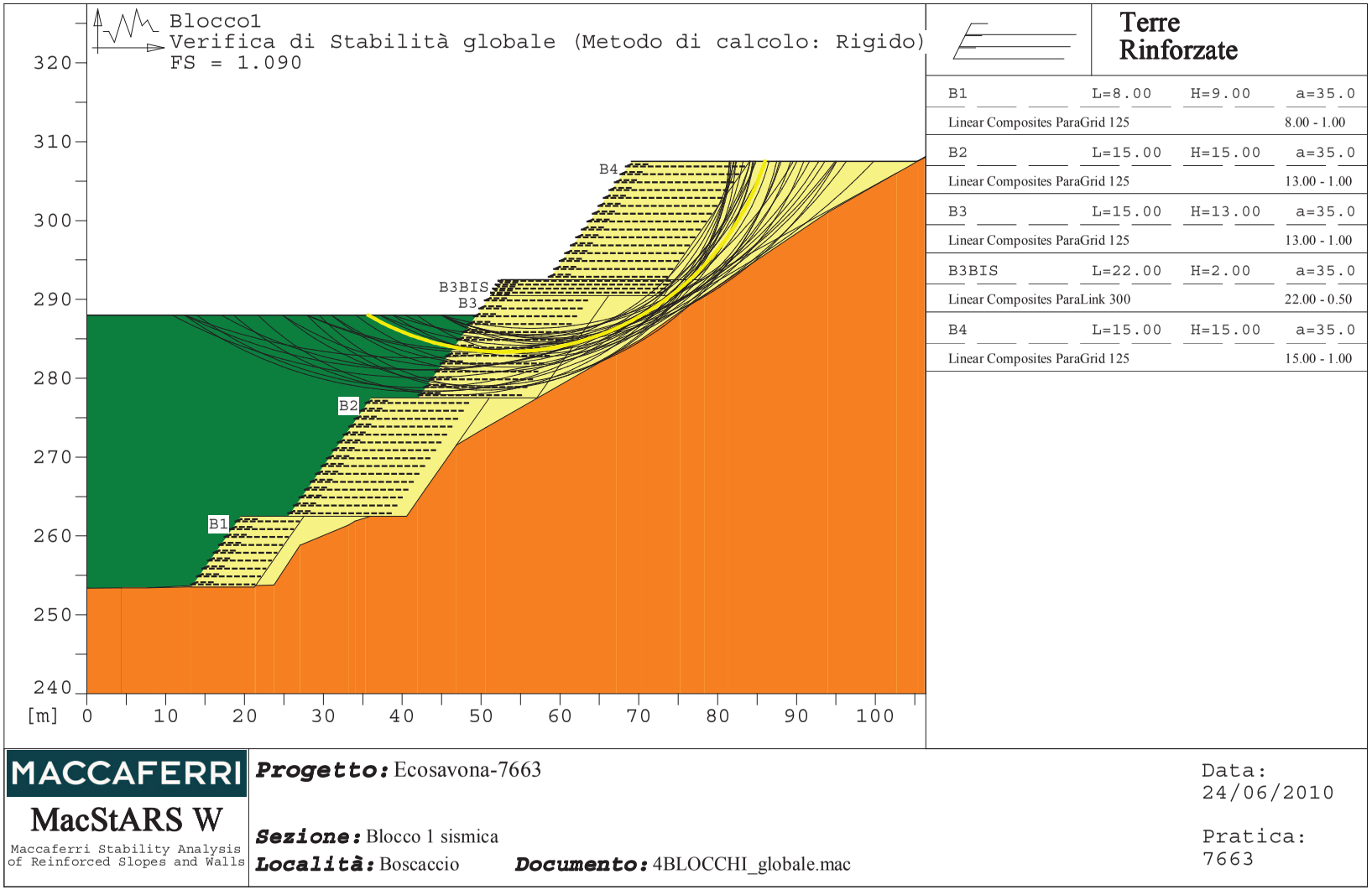


Figura 8: Analisi di stabilità globale in condizioni pseudo- statiche del blocco B4 (FS=1.090)

è vietata la riproduzione di questo documento, senza preventiva autorizzazione scritta dello SGI
reproduction of this document is forbidden without prior written permission of SGI

è vietata la riproduzione di questo documento, senza preventiva autorizzazione scritta dello SGI
reproduction of this document is forbidden without prior written permission of SGI

Allegato B2:

Analisi di stabilità interna

Analisi in condizioni statiche

è vietata la riproduzione di questo documento, senza preventiva autorizzazione scritta dello SGI
reproduction of this document is forbidden without prior written permission of SGI

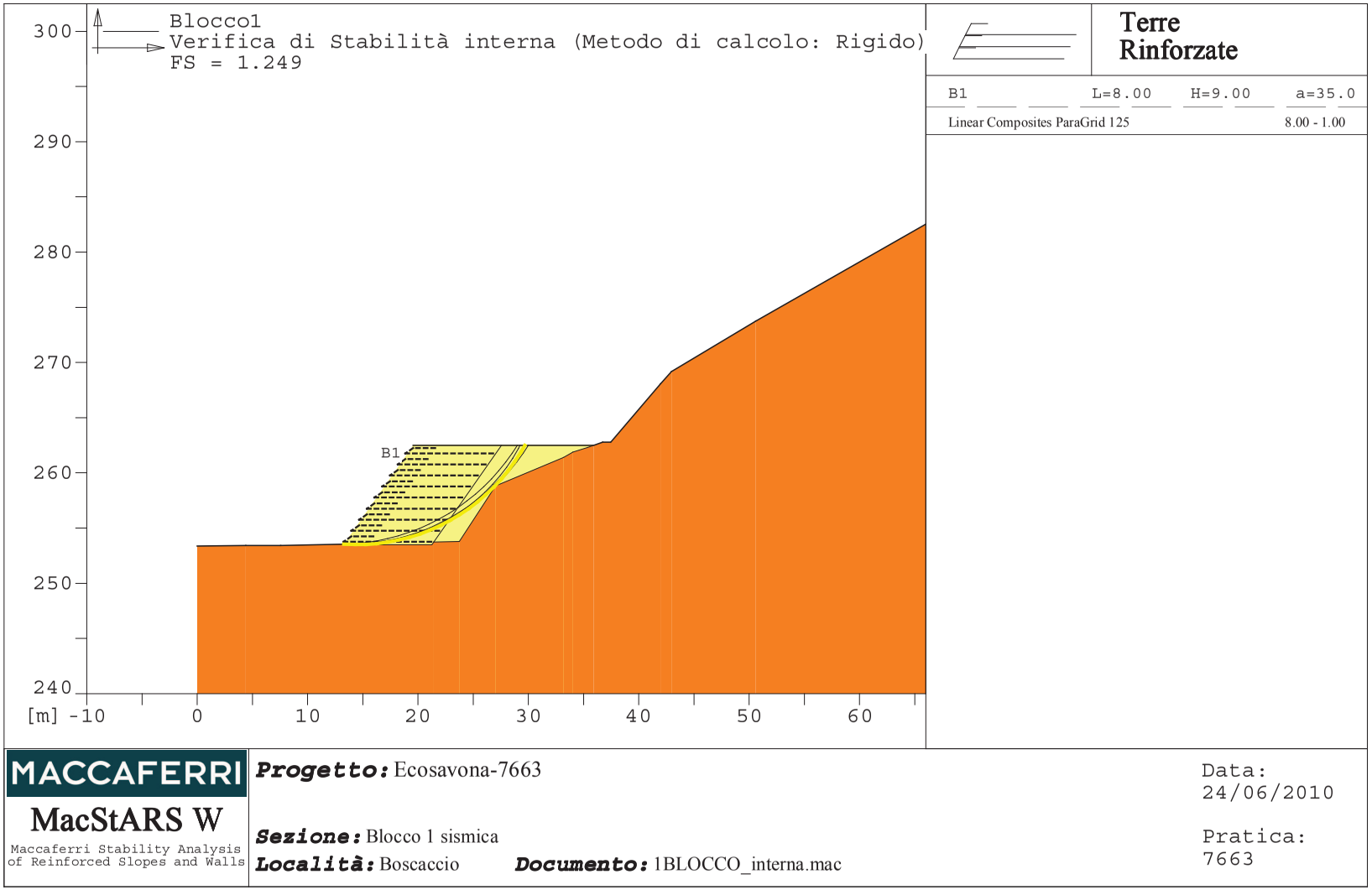


Figura 9: Analisi di stabilità interna in condizioni statiche del blocco B1(FS=1.249)

è vietata la riproduzione di questo documento, senza preventiva autorizzazione scritta dello SGI
reproduction of this document is forbidden without prior written permission of SGI

è vietata la riproduzione di questo documento, senza preventiva autorizzazione scritta dello SGI
reproduction of this document is forbidden without prior written permission of SGI

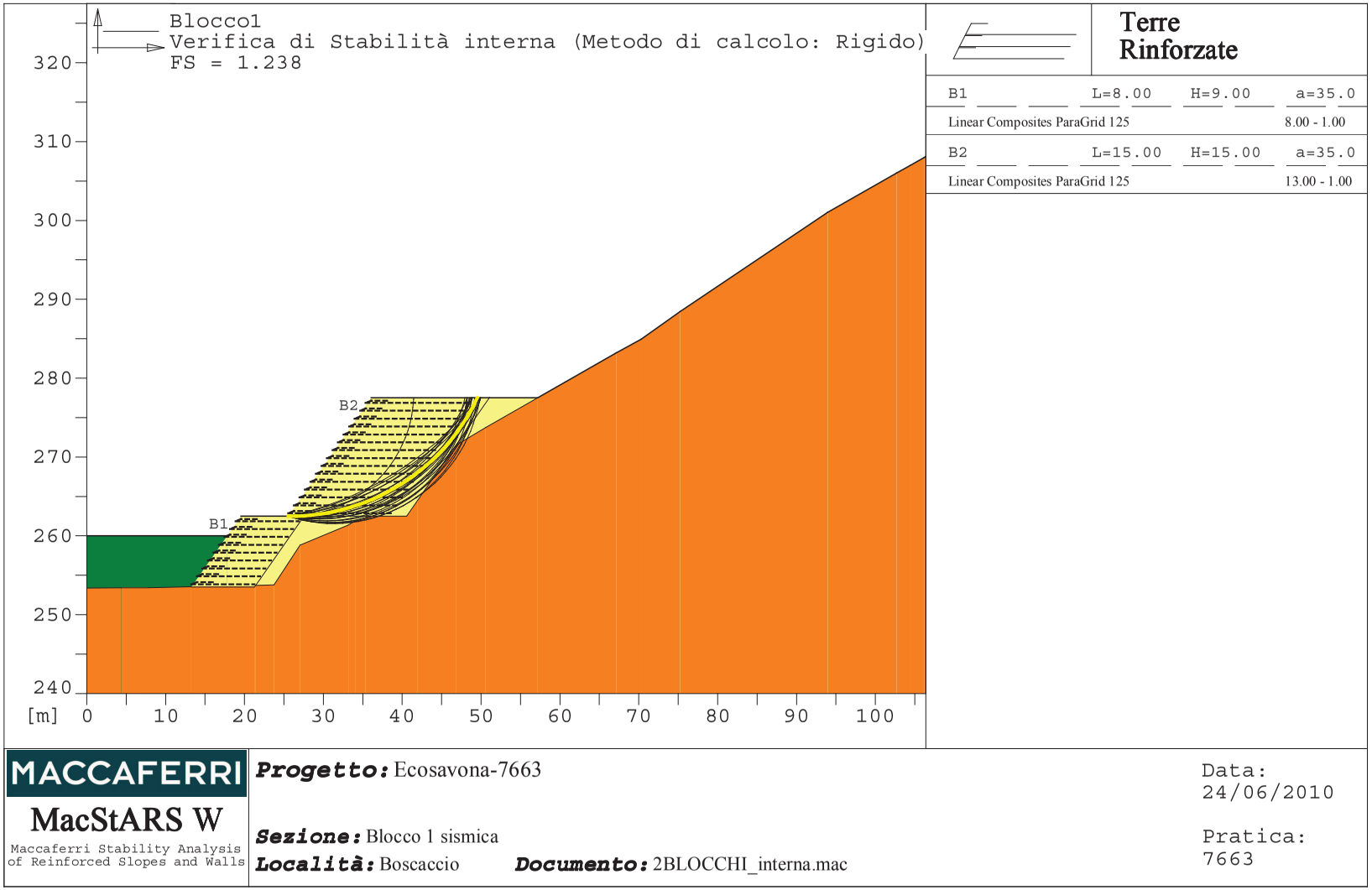


Figura 10: Analisi di stabilità interna in condizioni statiche del blocco B2 (FS=1.238)

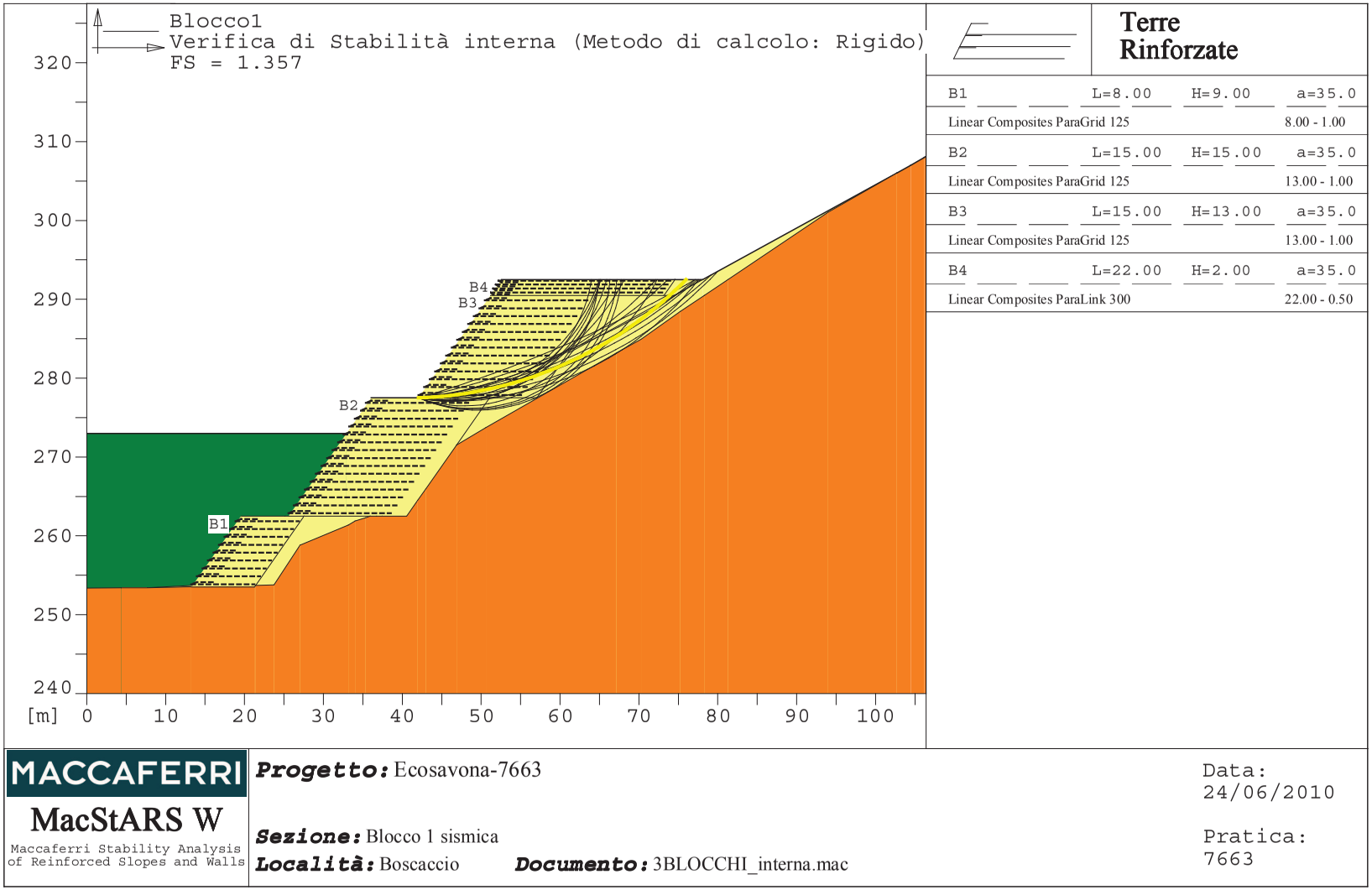


Figura 11: Analisi di stabilità interna in condizioni statiche dei blocchi B3 (FS=1.357)

è vietata la riproduzione di questo documento, senza preventiva autorizzazione scritta dello SGI
reproduction of this document is forbidden without prior written permission of SGI

è vietata la riproduzione di questo documento, senza preventiva autorizzazione scritta dello SGI
reproduction of this document is forbidden without prior written permission of SGI

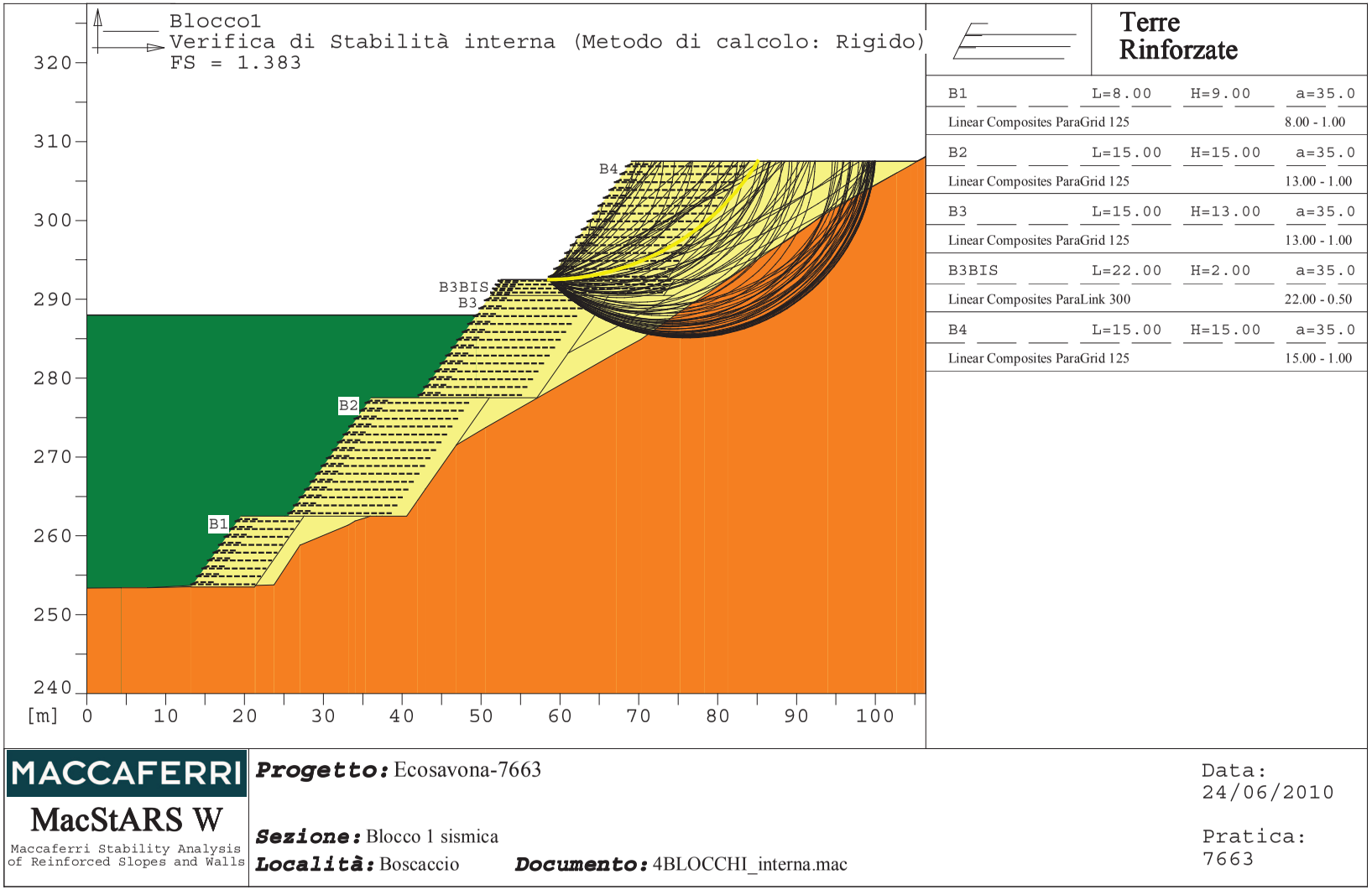


Figura 12: Analisi di stabilità interna in condizioni statiche del blocco B4 (FS=1.383)

è vietata la riproduzione di questo documento, senza preventiva autorizzazione scritta dello SGI
reproduction of this document is forbidden without prior written permission of SGI

Analisi in condizioni pseudo-statiche

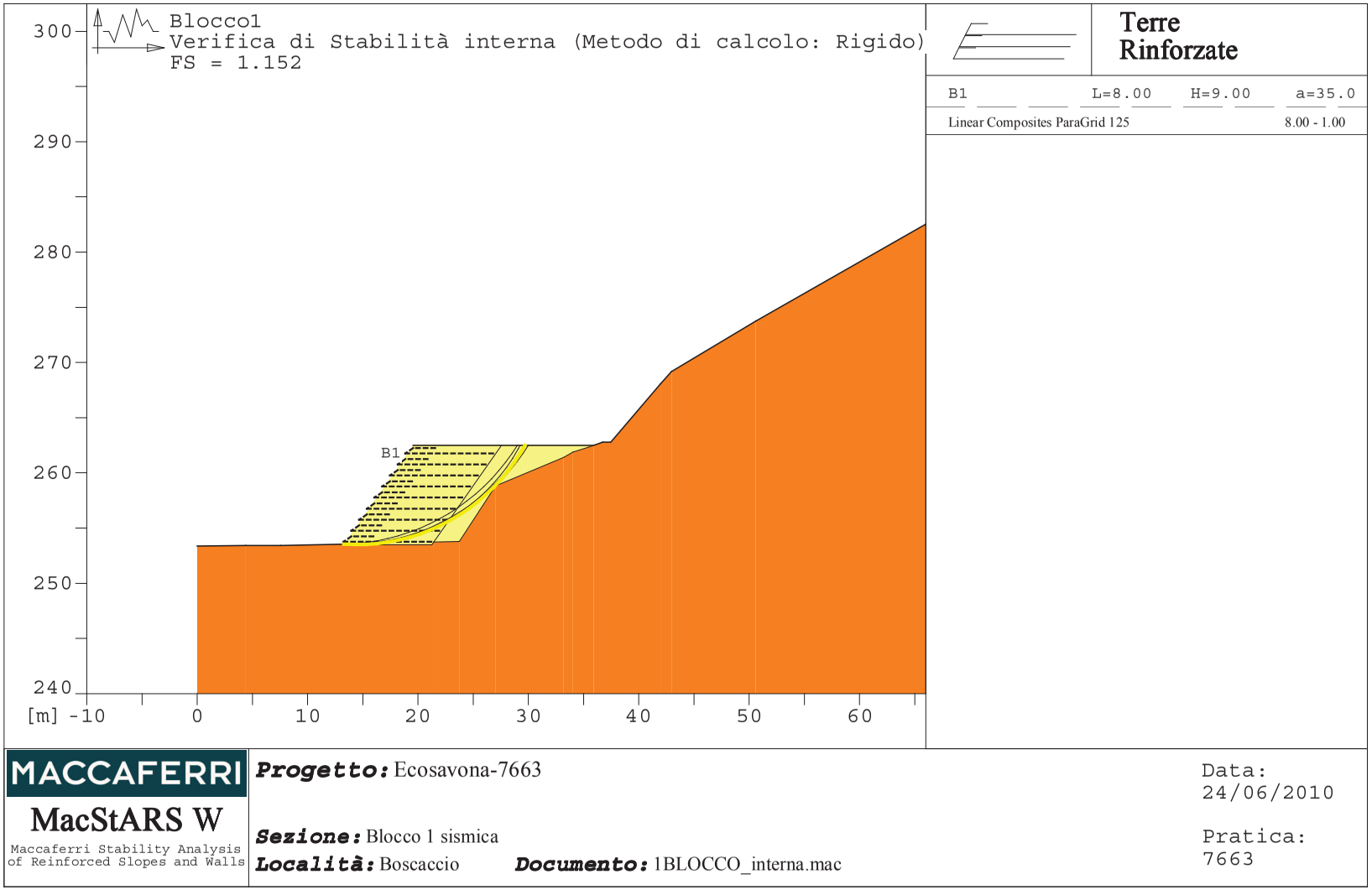


Figura 13: Analisi di stabilità interna in condizioni pseudo-statiche del blocco B1(FS=1.152)

è vietata la riproduzione di questo documento, senza preventiva autorizzazione scritta dello SGI
reproduction of this document is forbidden without prior written permission of SGI

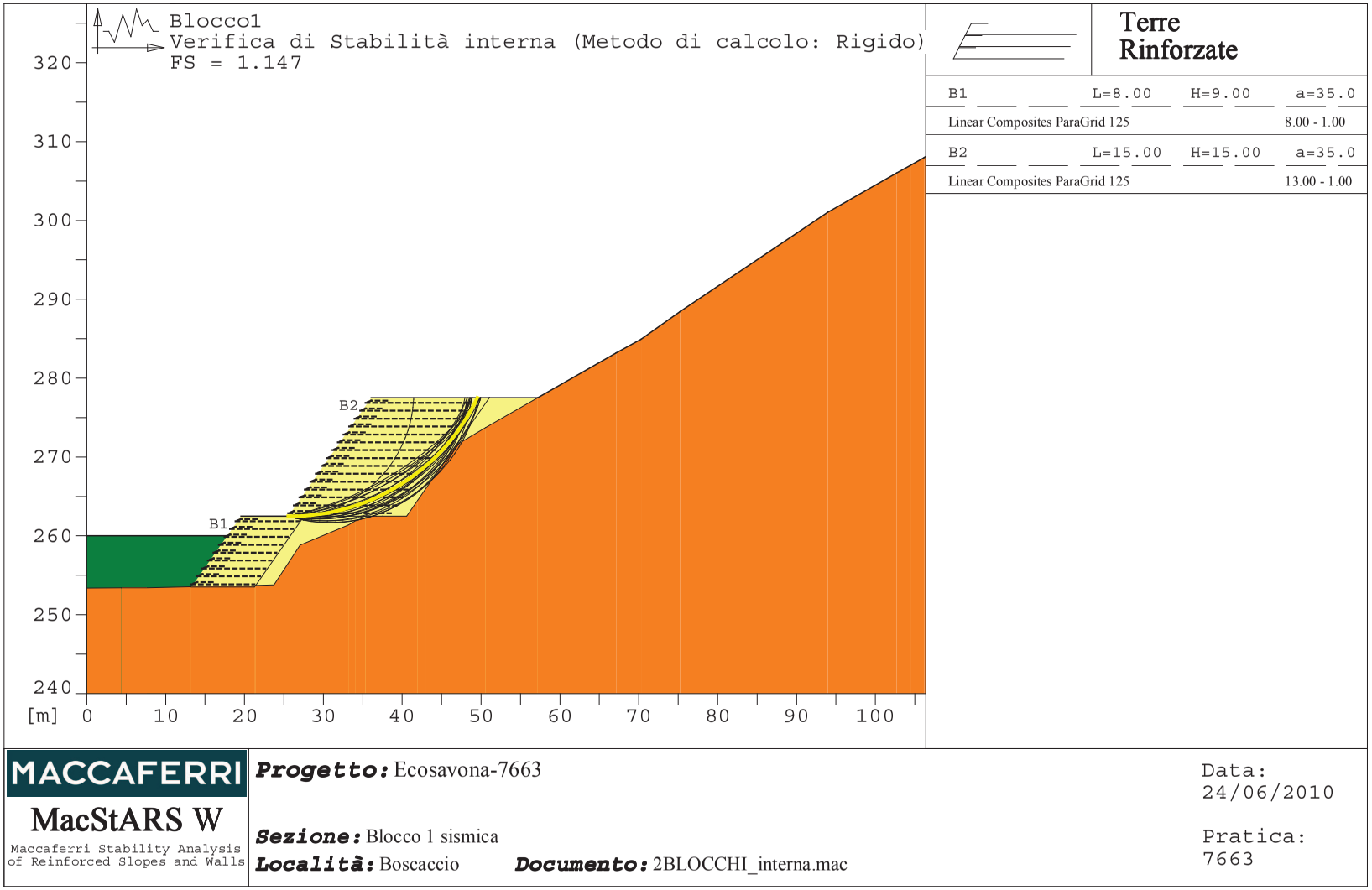


Figura 14: Analisi di stabilità interna in condizioni pseudo-statiche del blocco B2 (FS=1.147)

è vietata la riproduzione di questo documento, senza preventiva autorizzazione scritta dello SGI
reproduction of this document is forbidden without prior written permission of SGI

è vietata la riproduzione di questo documento, senza preventiva autorizzazione scritta dello SGI
reproduction of this document is forbidden without prior written permission of SGI

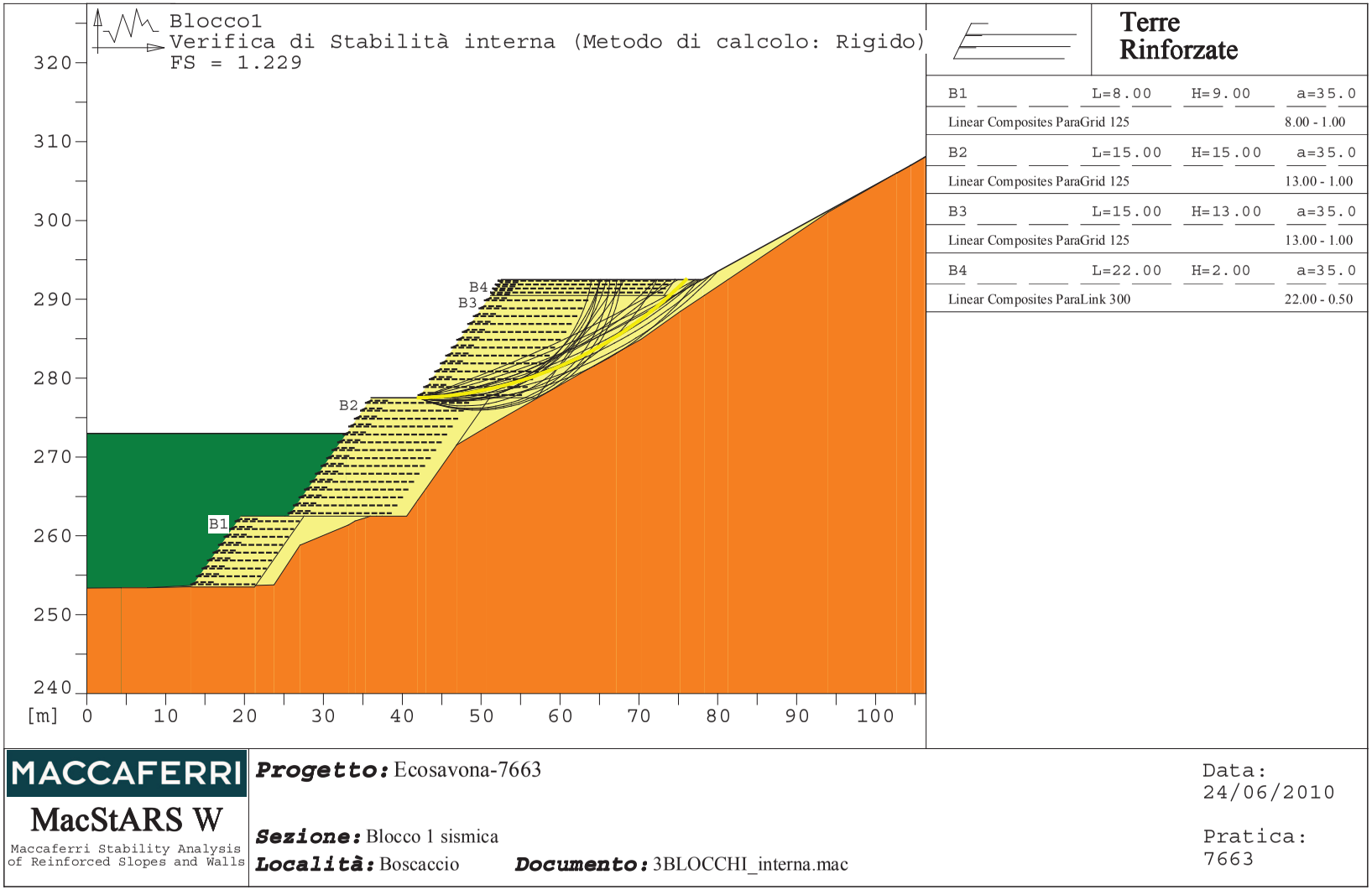


Figura 15: Analisi di stabilità interna in condizioni pseudo-statiche dei blocchi B3 (FS=1.229)

è vietata la riproduzione di questo documento, senza preventiva autorizzazione scritta dello SGI
reproduction of this document is forbidden without prior written permission of SGI

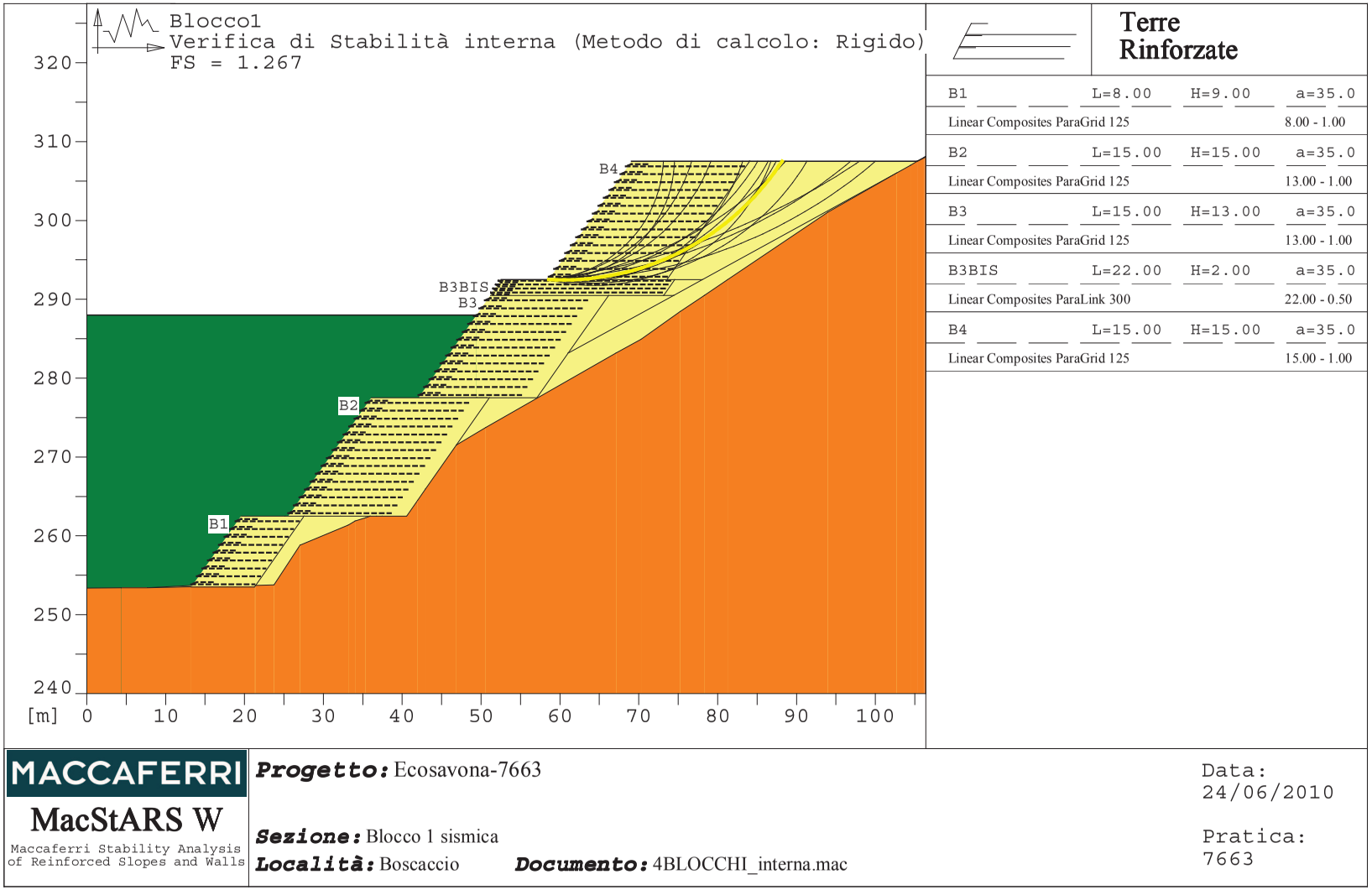


Figura 16: Analisi di stabilità interna in condizioni pseudo-statiche del blocco B4 (FS=1.267)

è vietata la riproduzione di questo documento, senza preventiva autorizzazione scritta dello SGI
reproduction of this document is forbidden without prior written permission of SGI

Allegato B3:

Verifiche allo scorrimento

è vietata la riproduzione di questo documento, senza preventiva autorizzazione scritta dello SGI
reproduction of this document is forbidden without prior written permission of SGI

Analisi in condizioni statiche

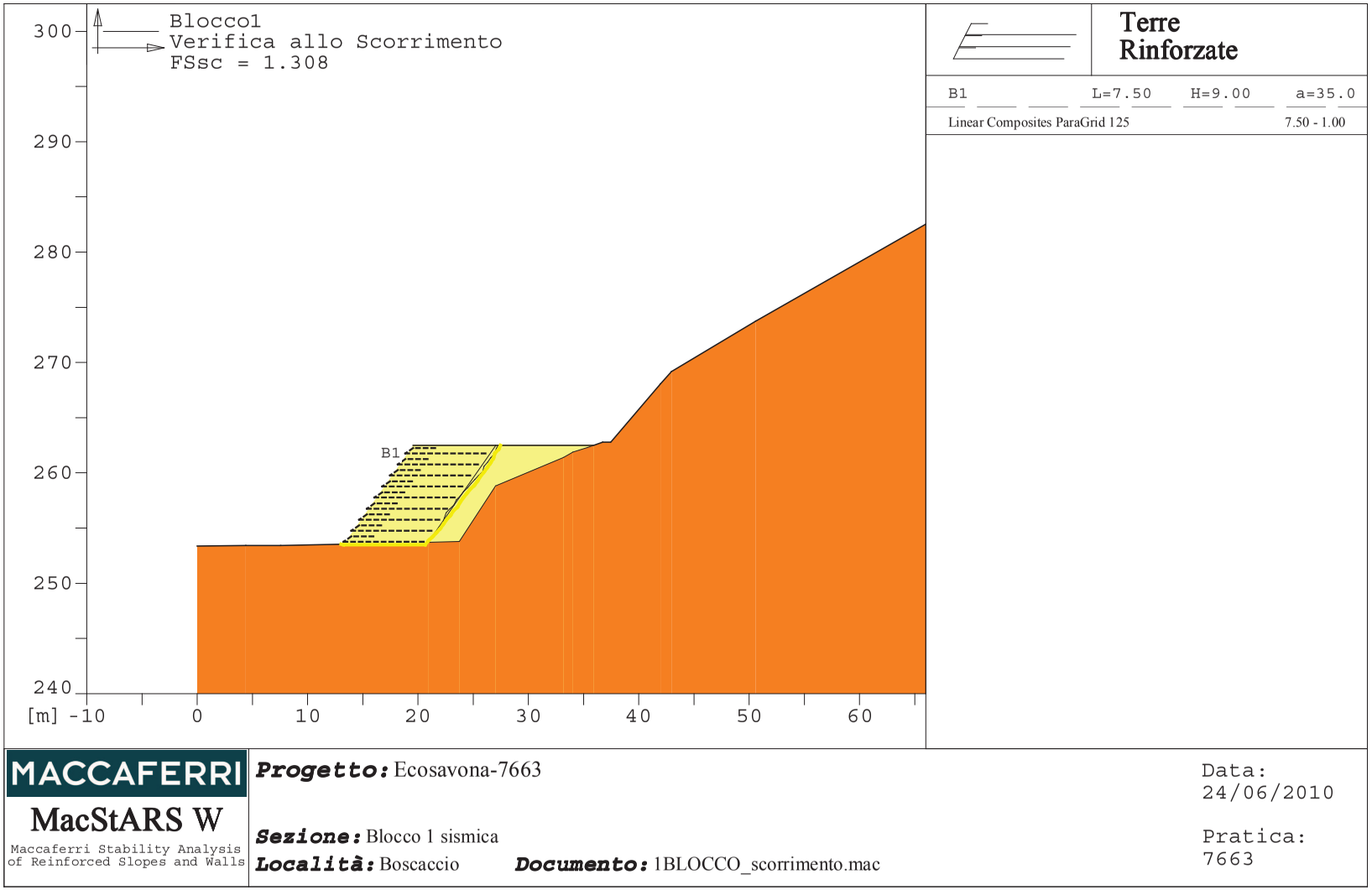


Figura 17: Verifiche allo scorrimento in condizioni statiche del blocco B1(FS = 1.308)

è vietata la riproduzione di questo documento, senza preventiva autorizzazione scritta dello SGI
reproduction of this document is forbidden without prior written permission of SGI

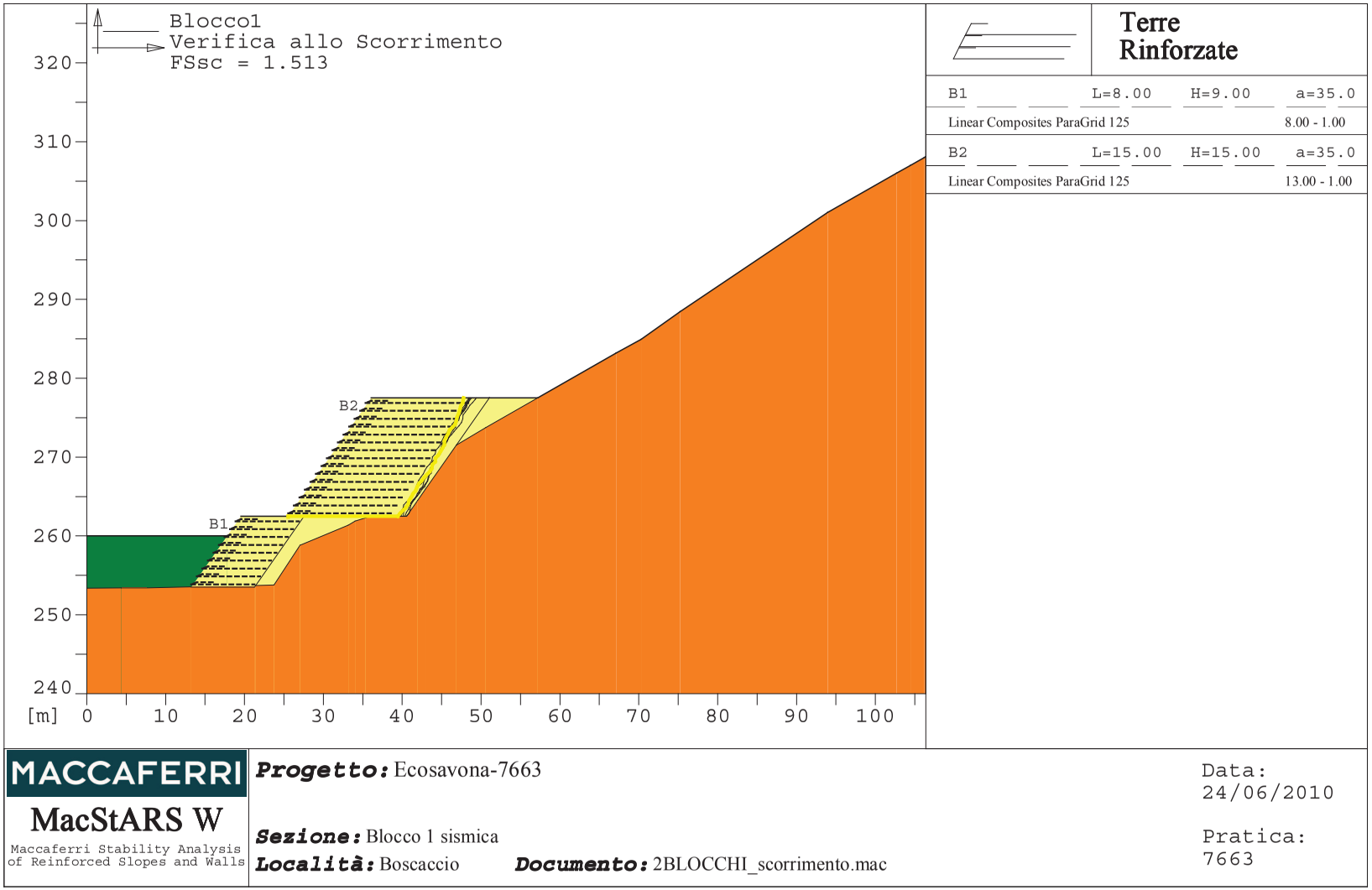


Figura 18: Verifiche allo scorrimento in condizioni statiche del blocco B2 (FS = 1.513)

è vietata la riproduzione di questo documento, senza preventiva autorizzazione scritta dello SGI
reproduction of this document is forbidden without prior written permission of SGI

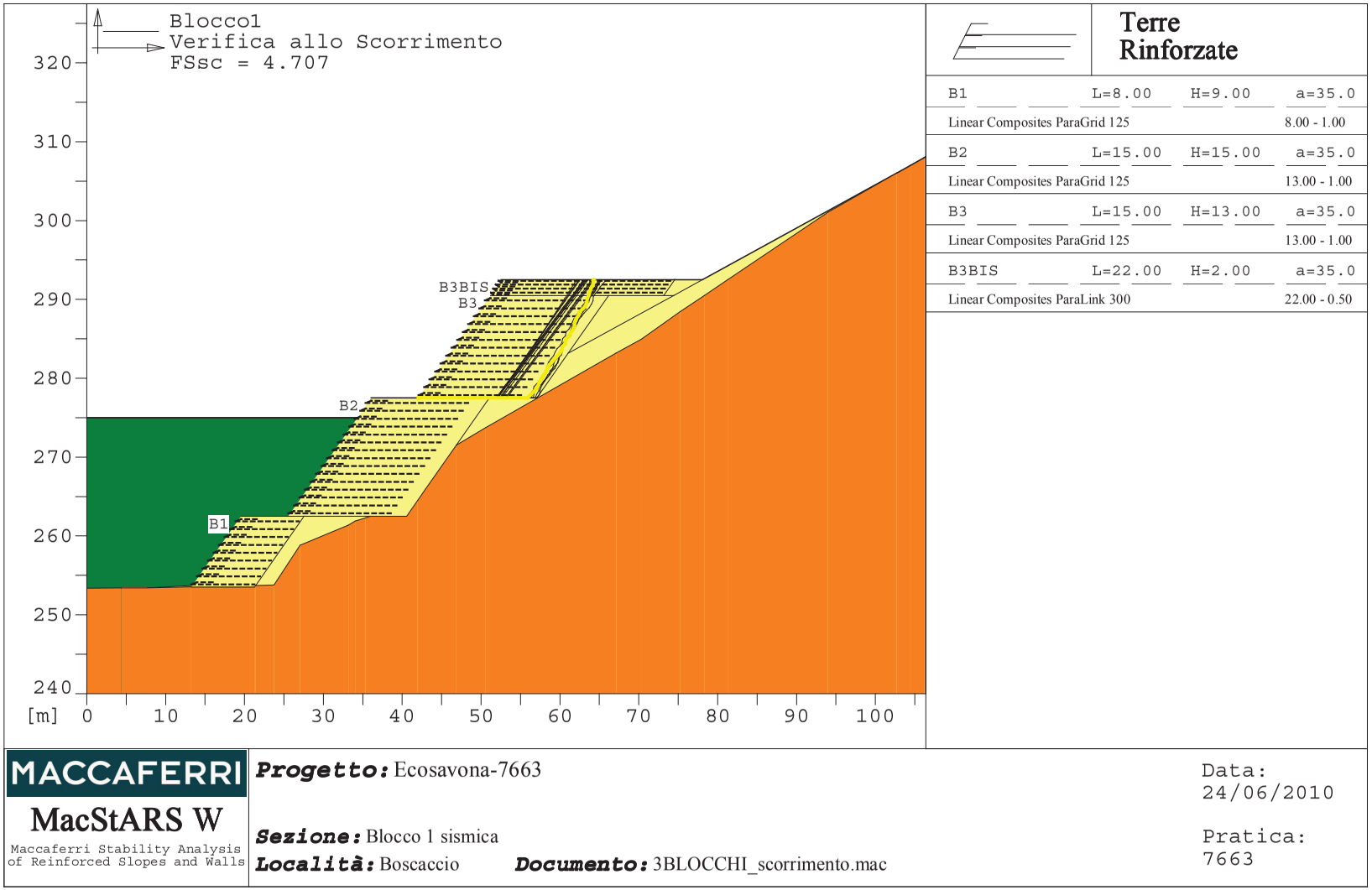


Figura 19: Verifiche allo scorrimento in condizioni statiche del blocco B3 (FS = 4.707)

è vietata la riproduzione di questo documento, senza preventiva autorizzazione scritta dello SGI
reproduction of this document is forbidden without prior written permission of SGI

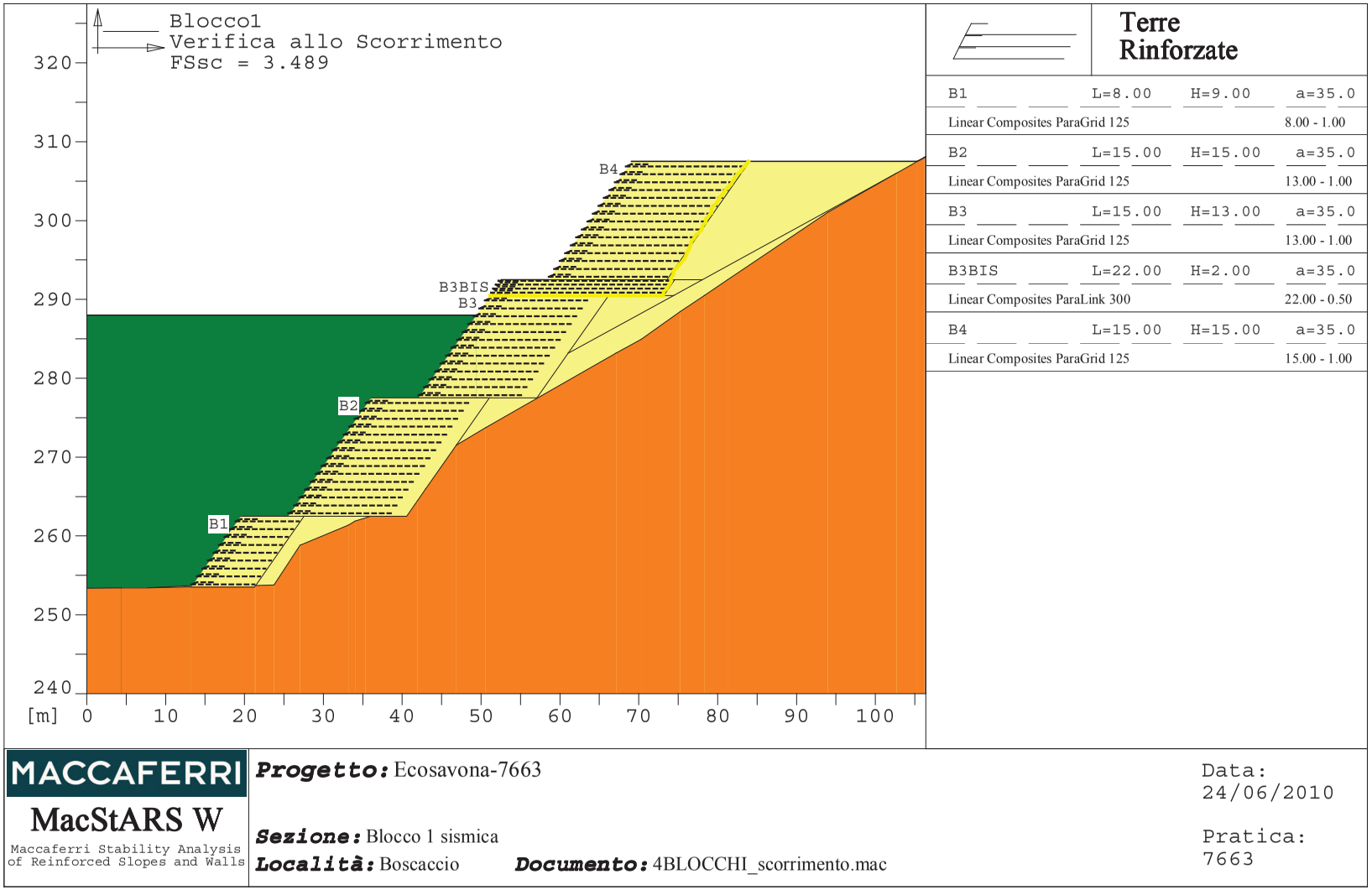


Figura 20: Verifiche allo scorrimento in condizioni statiche del blocco B4 (FS = 3.489)

è vietata la riproduzione di questo documento, senza preventiva autorizzazione scritta dello SGI
reproduction of this document is forbidden without prior written permission of SGI

è vietata la riproduzione di questo documento, senza preventiva autorizzazione scritta dello SGI
reproduction of this document is forbidden without prior written permission of SGI

Analisi in condizioni pseudo statiche

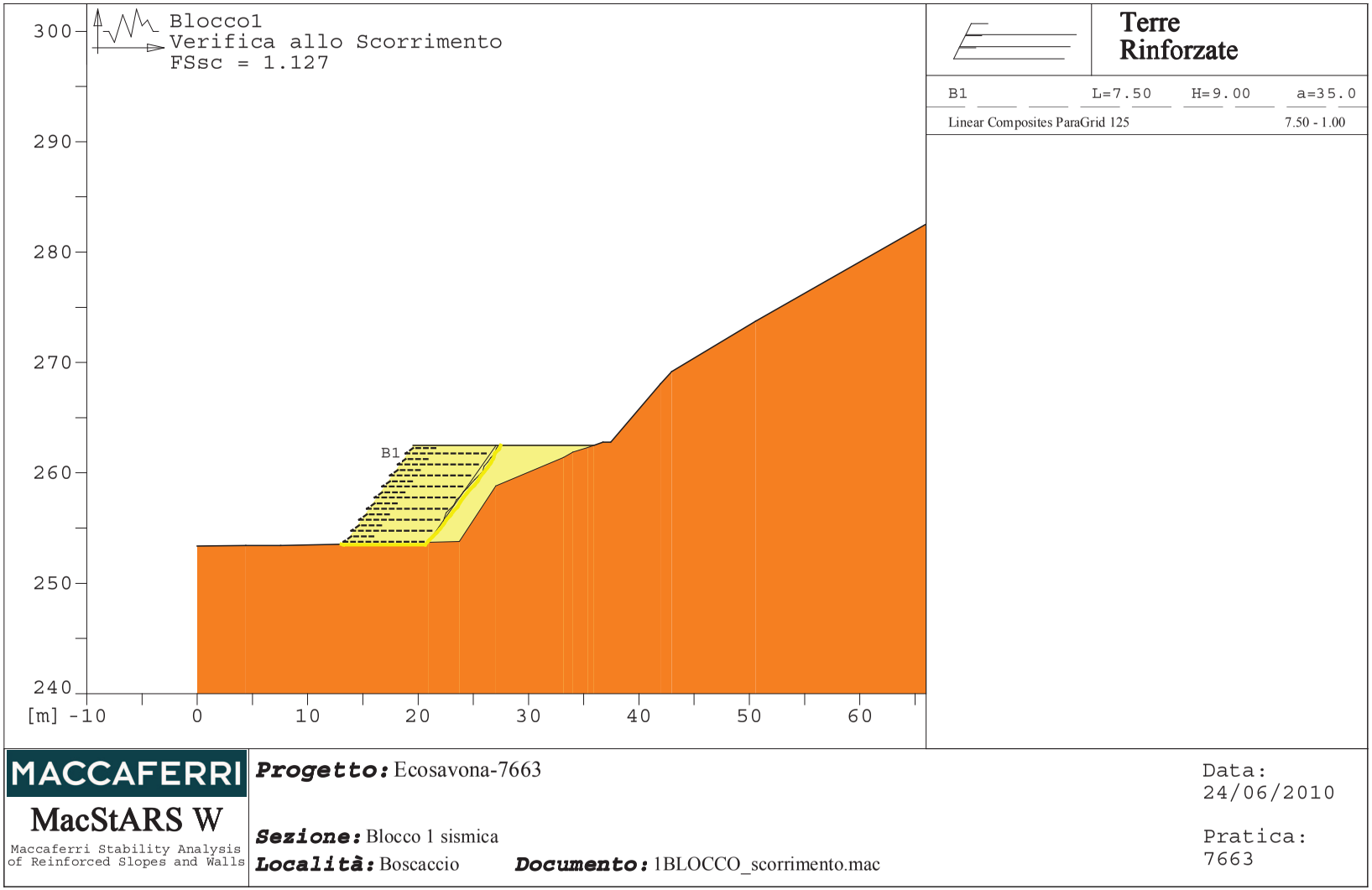


Figura 21: Verifiche allo scorrimento in condizioni pseudo-statiche del blocco B1(FS = 2.196)

è vietata la riproduzione di questo documento, senza preventiva autorizzazione scritta dello SGI
reproduction of this document is forbidden without prior written permission of SGI

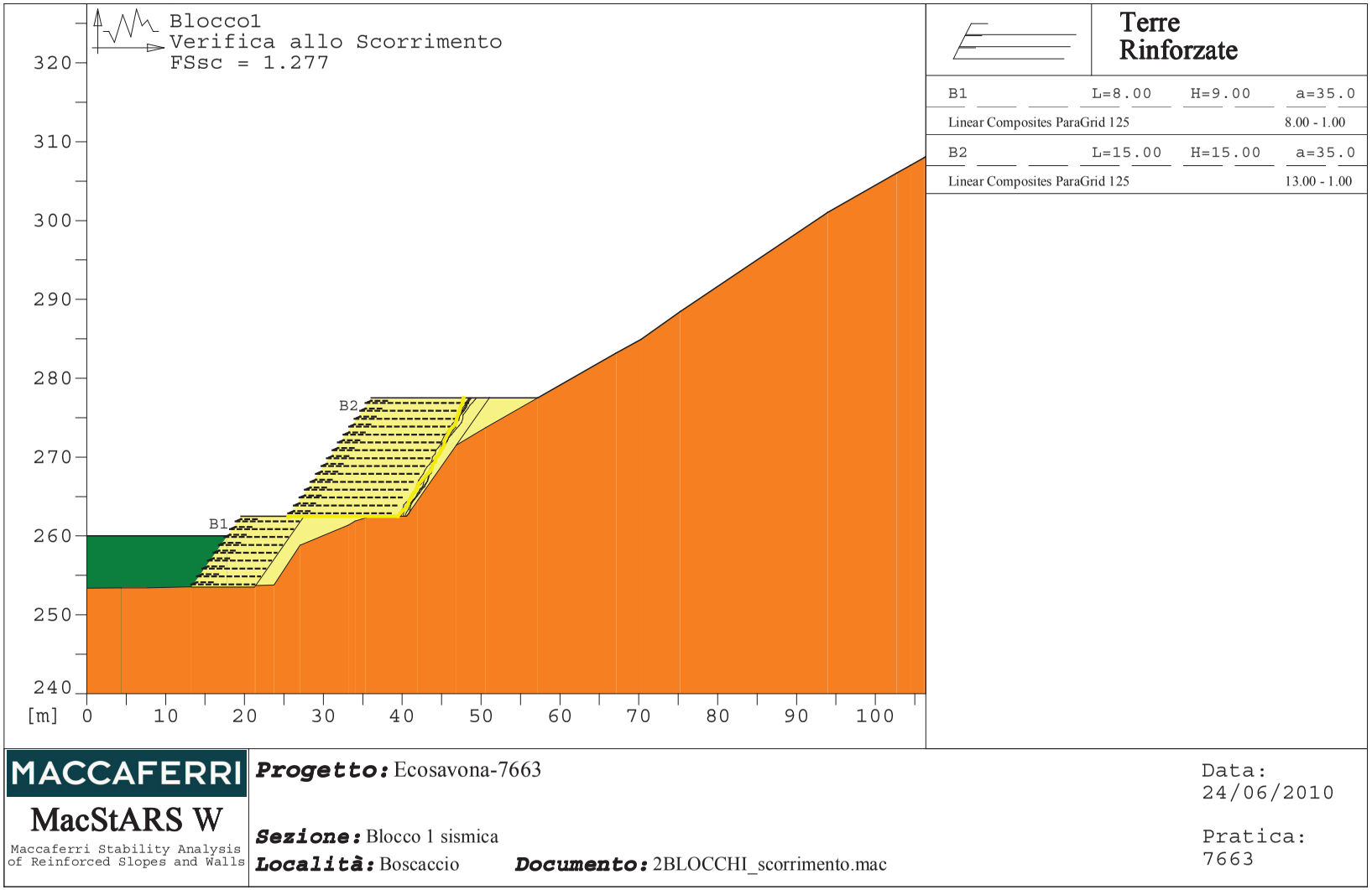


Figura 22: Verifiche allo scorrimento in condizioni pseudo-statiche del blocco B2 (FS = 3.045)

è vietata la riproduzione di questo documento, senza preventiva autorizzazione scritta dello SGI
reproduction of this document is forbidden without prior written permission of SGI

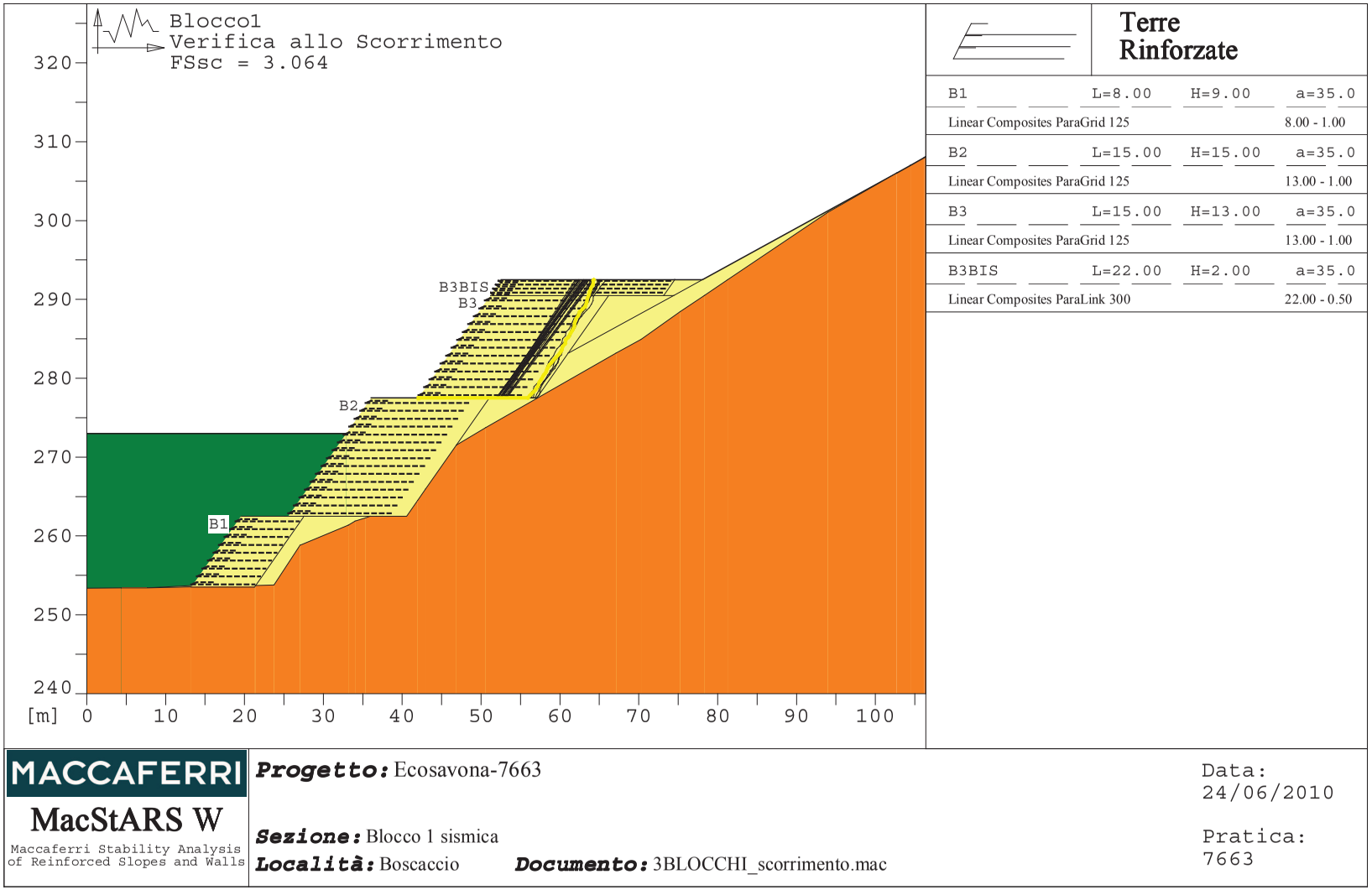


Figura 23: Verifiche allo scorrimento in condizioni pseudo-statiche del blocco B3 (FS = 3.045)

è vietata la riproduzione di questo documento, senza preventiva autorizzazione scritta dello SGI
reproduction of this document is forbidden without prior written permission of SGI

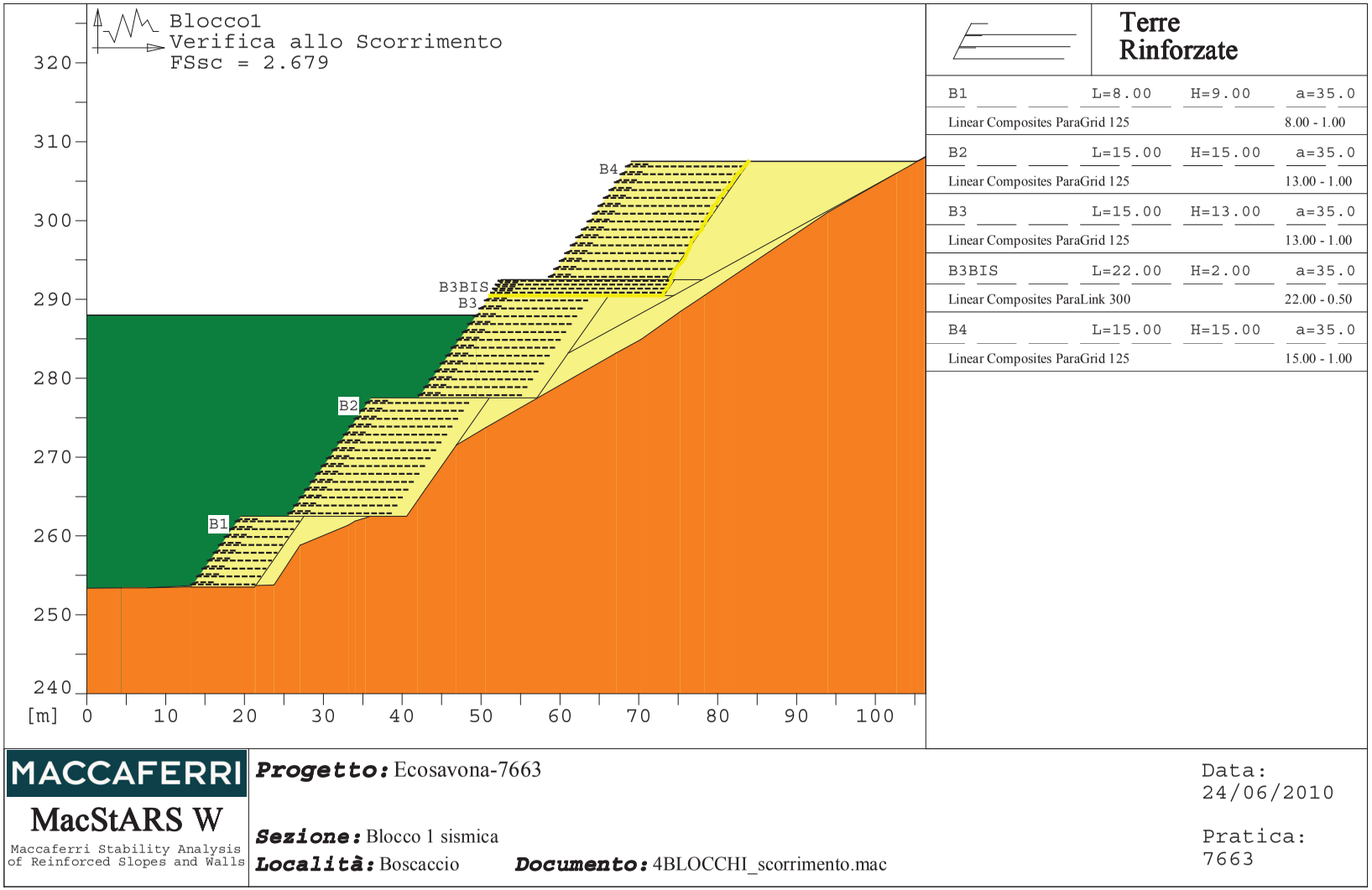


Figura 24: Verifiche allo scorrimento in condizioni pseudo-statiche del blocco B4 (FS = 3.045)

è vietata la riproduzione di questo documento, senza preventiva autorizzazione scritta dello SGI
reproduction of this document is forbidden without prior written permission of SGI